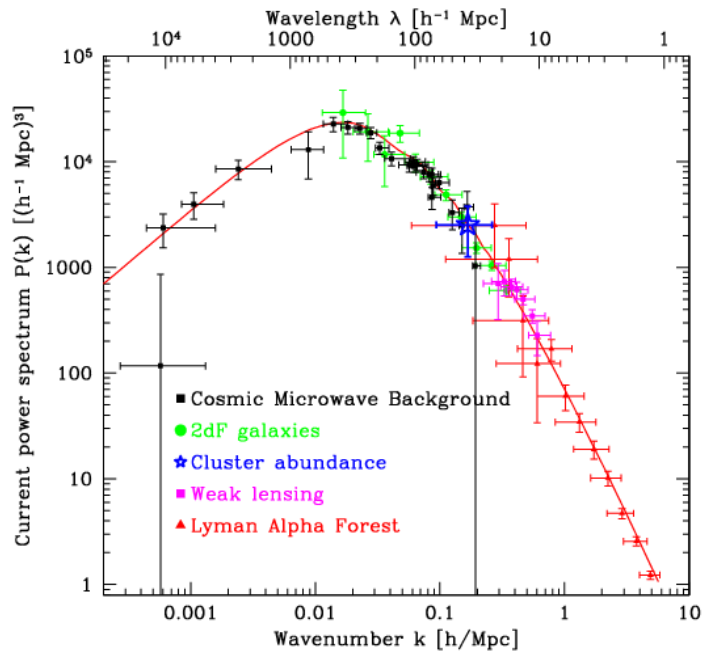


# Linearni rast perturbacija i Press-Schechterov formalizam

16. 10. 2015.

# Ciljevi:

- Objasniti poreklo spektra perturbacija!
- Objasniti poreklo funkcije sjaja galaksija (Schechterove funkcije)!



# Nehomogenosti?

- Ključna ideja - **gravitaciona nestabilnost!**

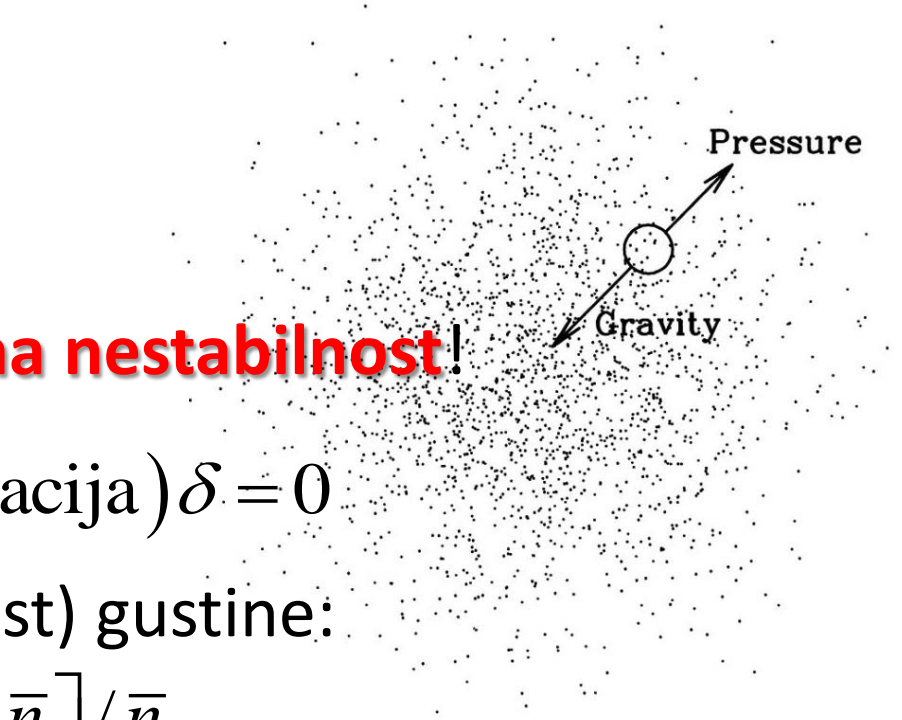
$$\ddot{\delta} + (\text{pritisak} - \text{gravitacija})\delta = 0$$

- gde je  $\delta$  uvećanje (kontrast) gustine:

$$\delta(\vec{x}) = [n(\vec{x}) - \bar{n}] / \bar{n}$$

- Furije-transform od  $\delta(\vec{x})$  je kontrast gustine u prostoru talasnih brojeva  $\tilde{\delta}(\vec{k})$ .
- Često se izostavlja oznaka “~”!
- Spektar perturbacija (*power spectrum*) definisan je sa

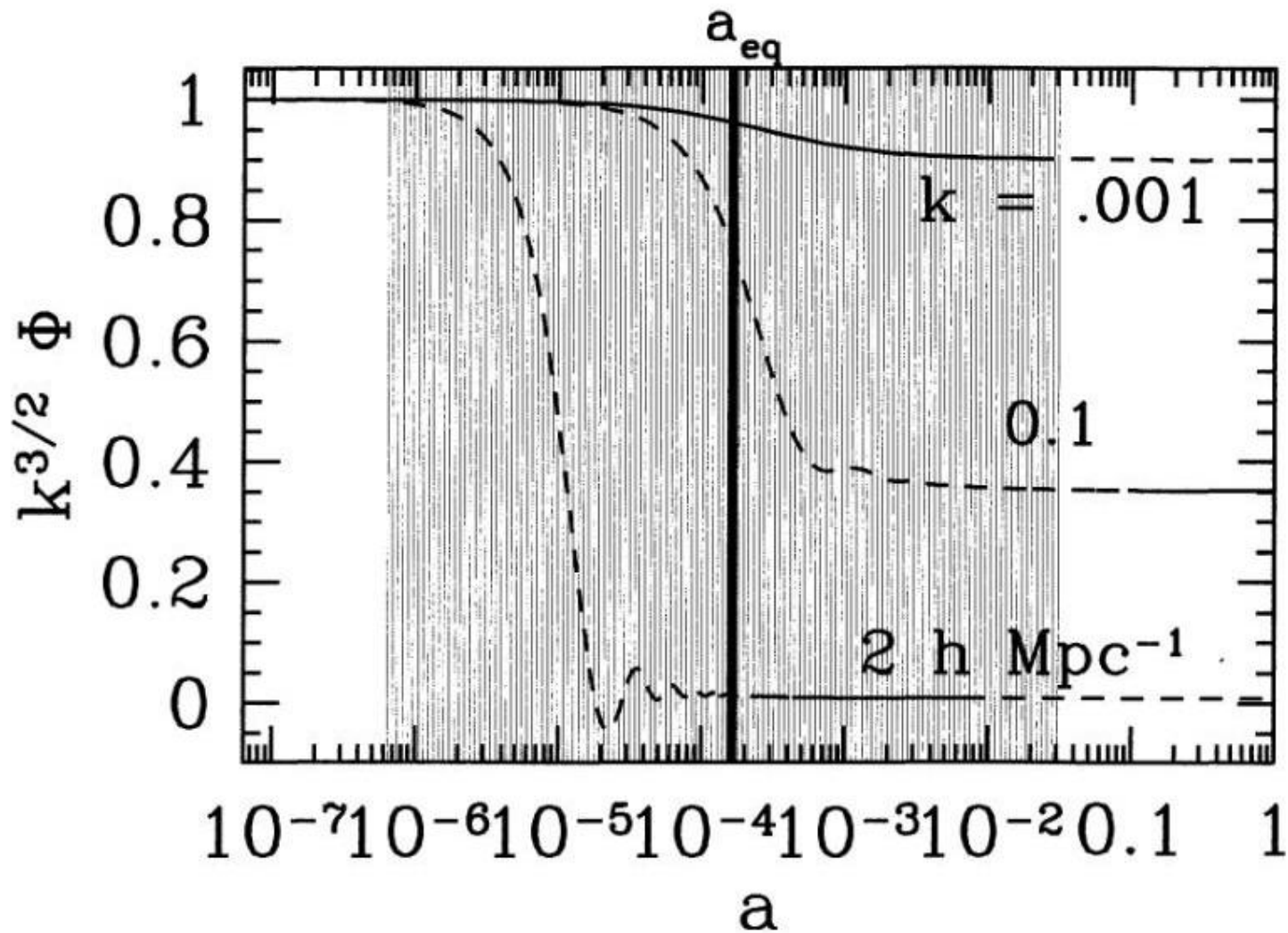
$$\langle \tilde{\delta}(\vec{k}) \tilde{\delta}(\vec{k}') \rangle = (2\pi)^3 P(k) \delta_{\text{Dirac}}^3(\vec{k} - \vec{k}')$$



- Spektar je širina (**varijansa**) raspodele: ako postoji mnogo oblasti visokog kontrasta gustine  $P$  će biti veliko, dok ako je raspodela blizu homogene,  $P$  je malo.
- Početne uslove daje inflacija: Harison-Zeljdovičev spektar perturbacija nezavisan od skale (*scale-invariant*):

$$P_\Phi(k) \propto k^{-3}.$$

- Tri prirodna režima evolucije gravitacionih perturbacija:
  - **rani period**: sve perturbacije van horizonta; gravitacioni potencijal  $\Phi$  konstantan;
  - **prelazni period**: neke talasne dužine padaju unutar horizonta + svemirom počinje da dominira materija;
  - **kasni period**: sve perturbacije evoluiraju na isti način.



# Rekonstrukcija tri režima

- U kasnom periodu možemo pisati:

$$\Phi(\vec{k}, a) = \Phi_P(\vec{k}) \times \{\text{funkcija transfera } (k)\} \times \{\text{funkcija rasta } (a)\}.$$

- Funkcija transfera  $T(k)$  opisuje evoluciju perturbacija kroz epohu prolaska kroz horizont i tranzicije zračenje/materija:

$$T(k) \equiv \frac{\Phi(k, a_{\text{kasno}})}{\Phi_{\text{large-scale}}(k, a_{\text{kasno}})}$$

- gde  $a_{\text{kasno}}$  označava neku epohu posle režima tranzicije, dok je *large-scale* rešenje primordijalno  $\Phi$  umanjeno za malu vrednost (detaljan proračun pokazuje da je to 9/10 primordijalnog  $\Phi$ ).

- Funkcija rasta  $D_1(a)$  opisuje rast u kasnim epohama (zbog širenja kosmosa); za  $a > a_{\text{kasno}}$  imamo:

$$\frac{\Phi(a)}{\Phi(a_{\text{kasno}})} \equiv \frac{D_1(a)}{a}.$$

- Npr. u najjednostavnijem E-dS modelu potencijal je konstantan, pa je  $D_1(a) = a$ .
- Iz prethodnog imamo

$$\Phi(k, a) = \frac{9}{10} \Phi_P(\vec{k}) T(k) \frac{D_1(a)}{a},$$

za  $a > a_{\text{kasno}}$ .

- Uvećanje gustine treba povezati sa gravitacionim potencijalom  
→ potrebna nam je Poasonova jednačina!
- Najjednostavniji oblik za kasne epohe i velike vrednosti  $k$  je:

pošto  $\Delta \equiv \nabla^2 \rightarrow \frac{1}{k^2}$

$$\Phi = \frac{4\pi G a^2 \rho_m \delta}{k^2},$$

- Podsetimo se:  $\rho_m = \Omega_m \rho_{\text{crit}} / a^3$ ,  $4\pi G \rho_{\text{crit}} = \frac{3}{2} H_0^2$  (za E-dS)
- Uz ovo, rešavajući Poasonovu jednačinu po kontrastu gustine imamo:

$$\delta(\vec{k}, a) = \frac{k^2 \Phi(\vec{k}, a) a}{(3/2) \Omega_m H_0^2}.$$

- Ovo nam omogućuje da povežemo uvećanje gustine danas sa primordijalnim potencijalom (iz inflacije):

$$\delta(\vec{k}, a) = \frac{3}{5} \frac{k^2}{\Omega_m H_0^2} \Phi_P(\vec{k}) T(k) D_1(a)$$

- **Malo dimenzione analize:** spektar perturbacija ima dimenzijs (dužina)<sup>-3</sup> → moramo pomnožiti sa  $k^3$  ako želimo bezdimenzionu veličinu!
- Često se definiše da je  $d^3 k P(k) / (2\pi)^3$  amplituda spektra u binu širine  $dk$  oko vrednosti  $k$ .
- Kada integrišemo po svim orientacijama vektora  $k$  ovo postaje  $\frac{dk}{k} \Delta^2(k)$ , gde je  $\Delta^2(k) \equiv \frac{k^3 P(k)}{2\pi^2}$ .

# Problemi linearne teorije

- Osnovni rezultat linearne teorije

$$\delta(\vec{k}, a) = \frac{3}{5} \frac{k^2}{\Omega_m H_0^2} \Phi_P(\vec{k}) T(k) D_1(a)$$

- Kako izgleda funkcija transfera? kako izgleda funkcija rasta? kako da izračunate perturbacije uporedimo sa posmatranim (strukturom na velikoj skali, jatima, galaksijama, itd.)?
- Dva kvalitativna zapažanja:
  - Na velikim skalama spektar perturbacija **linearan**:  $P(k) \propto k$
  - Spektar će imati **maksimum**, koji odgovara veličini onih perturbacija koje ulaze u horizont tačno u trenutku ravnoteže zračenja i materije  $a = a_{eq}$ .
- Na kojim skalama nelinearnosti nastale usled lokalne fizike postaju bitne?

$$k_{nl} \square 0.2 h \text{ Mpc}^{-1}$$

# Primeri numeričkih rezultata

- Funkcija transfera na malim skalama:

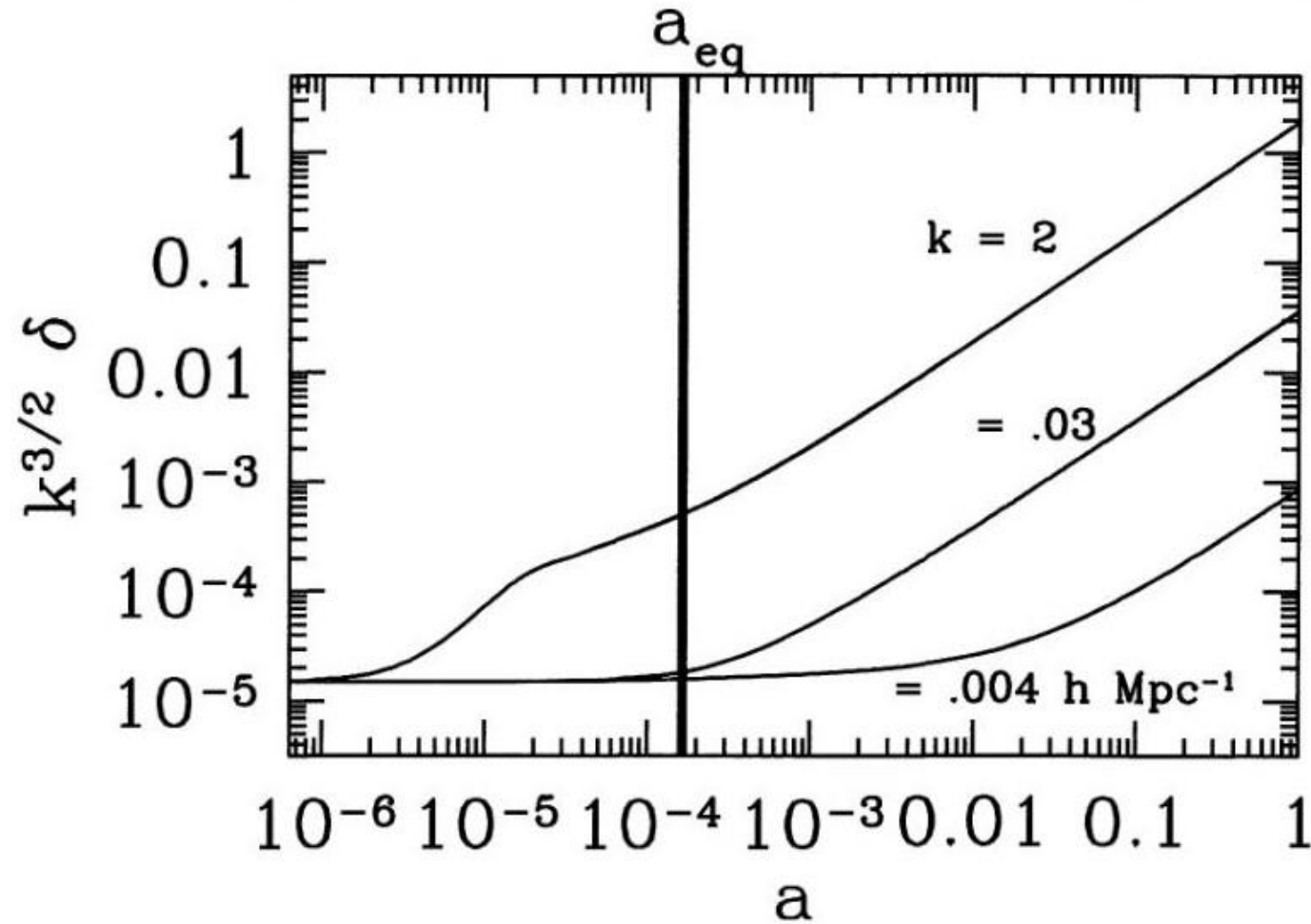
$$T(k) = \frac{5A\Omega_m H_0^2}{2k^2 a_{eq}} \ln \left[ \frac{4Be^{-3}\sqrt{2}k}{k_{eq}} \right], \quad k \ll k_{eq}$$

- Ovo se često piše u funkciji od  $x \equiv k/k_{eq}$ . Precizni proračuni daju funkciju transfera npr. u BBKS (*Bardeen – Bond – Kaiser – Szalay*) formi:

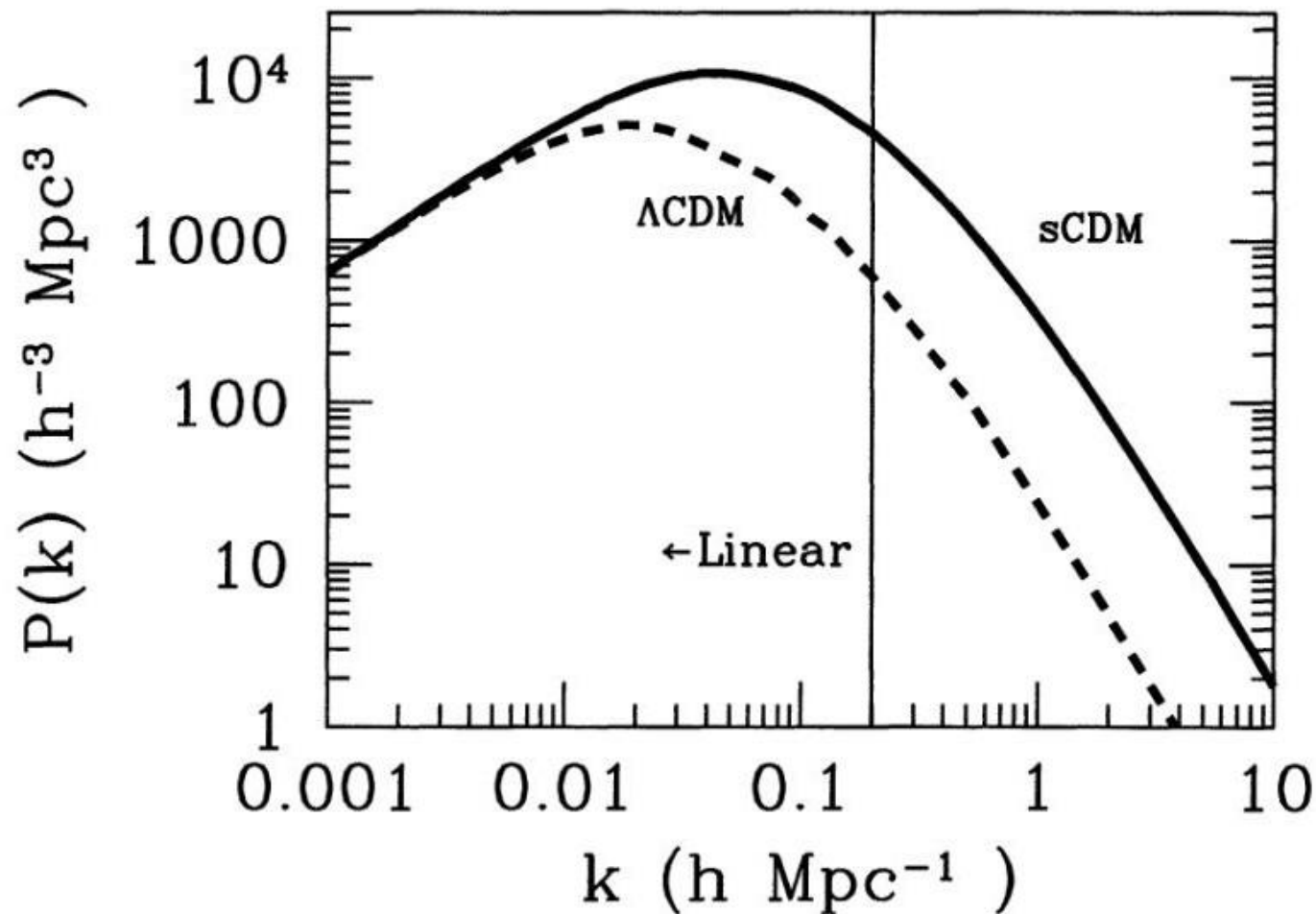
$$T(x) = \frac{\ln(1+0.171x)}{0.171x} \left[ 1 + 0.284x + (1.18x)^2 + (0.399x)^3 + (0.49x)^4 \right]^{-0.25}$$

- Međutim, ni ovo još nije “stvarni svet” perturbacija! Više efekata koje je teško izračunati (komplikovanije perturbacije, npr. torzija, menjaju faktor 9/10; mala količina bariona, itd.).
- Tamna energija menja spektar perturbacija na velikoj skali u veoma poznim epohama! (nevažno sem za najveće strukture)

# Kontrast gustine

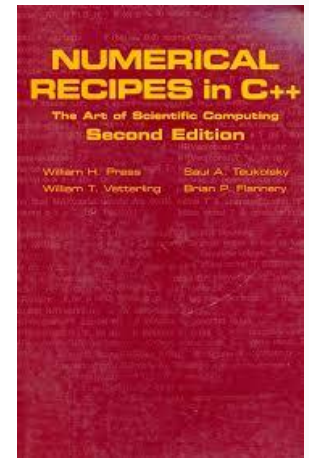


# Spektar perturbacija (teorijski)



# 1974, Caltech...

- Šta se dešava sa malim perturbacijama?
- Bil Pres pronalazi **veoma** dobrog studenta...
- Press, W. H. & Schechter, P. 1974, “Formation of Galaxies and Clusters of Galaxies by Self-Similar Gravitational Condensation” *Astrophysical Journal*, Vol. **187**, pp. 425-438.
- Prvi i osnovni rezultat koji pokazuje vezu između teorije gravitacionih perturbacija i „realnog“ sveta galaksija.





Vreme



za

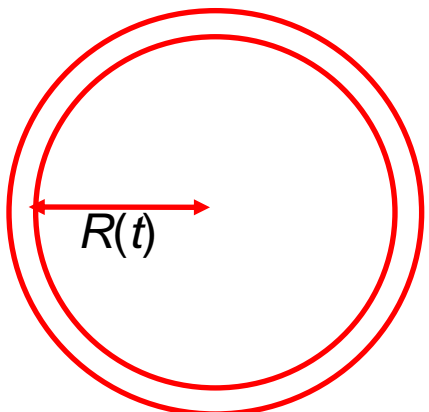


pauzu!



# Sferni model kolapsa – “top hat”

- Razmotrimo evoluciju sferne oblasti povećane gustine:

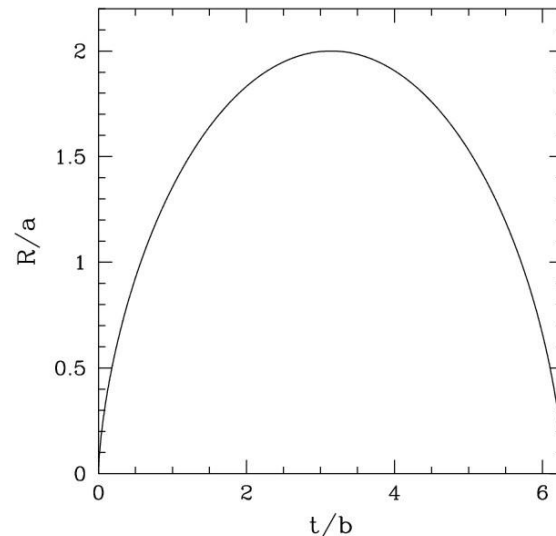


$$\frac{d^2R}{dt^2} = -\frac{GM}{R^2} \quad \Rightarrow \quad \left(\frac{dR}{dt}\right)^2 = \frac{2GM}{R} + 2E$$

“Energija veze”  $E < 0$ : **vezan sistem**

$$\begin{cases} R = C^2(1 - \cos \theta) \\ t = \frac{C^3}{\sqrt{GM}}(\theta - \sin \theta) \end{cases}$$

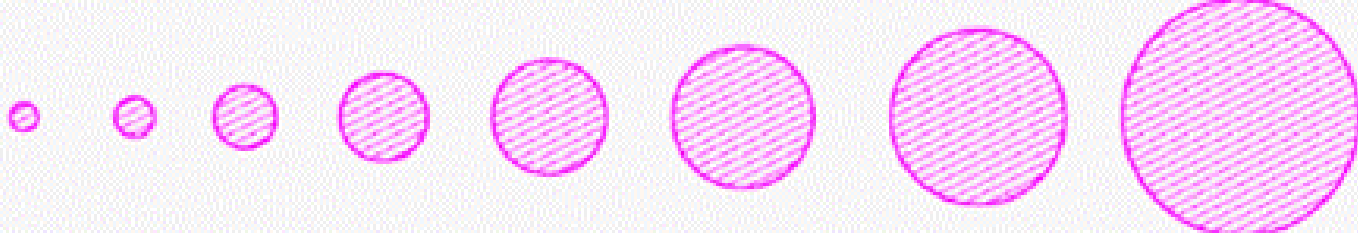
$C$ : konstanta integracije koja odgovara veličini sferne ljudske. Ova kriva se naziva **cikloida**.



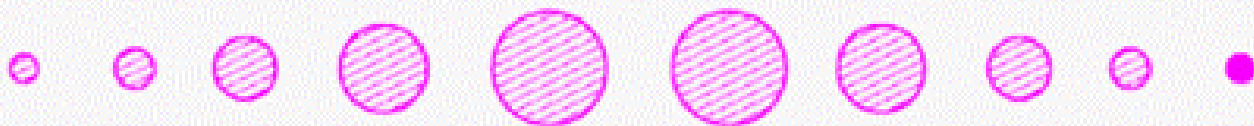
**NAPOMENA:** Za  $E > 0$  imamo formalno nevezan sistem  $\Rightarrow$  odgovara prazninama (*void-ovima*)!

typical region

time



overdense region



# Model sfernog kolapsa

- gustina regiona veće gustine i prosečna gustina:

$$\rho = M \left( \frac{4\pi R^3}{3} \right)^{-1} \quad \bar{\rho} = \frac{1}{6\pi G t^2}$$

$$\delta(t) = \frac{9GMt^2}{2R^3} - 1 = \frac{9}{2} \frac{(\theta - \sin \theta)^2}{(1 - \cos \theta)^3}$$

- $\theta = \pi$ : širenje prelazi u sažimanje (*turn around*)

$$R_{\text{turn}} = 2C^2 \quad t_{\text{turn}} = \frac{\pi C^3}{\sqrt{GM}}$$

- $\theta = 2\pi$ : kolaps ( $R \rightarrow 0$ )

$$t_{\text{coll}} = \frac{2\pi C^3}{\sqrt{GM}}$$

# Virijalizacija

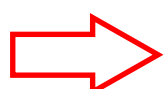
- U realnosti ne dolazi do kolapsa  $R \rightarrow 0$ , već region povećane gustine postaje objekat sa virijalnim radijusom  $R_{\text{vir}}$ , putem mehanizma relaksacije.
- Iz održanja energije imamo:

$$\frac{GM^2}{R_{\text{turn}}} = \frac{1}{2} \frac{GM^2}{R_{\text{vir}}}$$

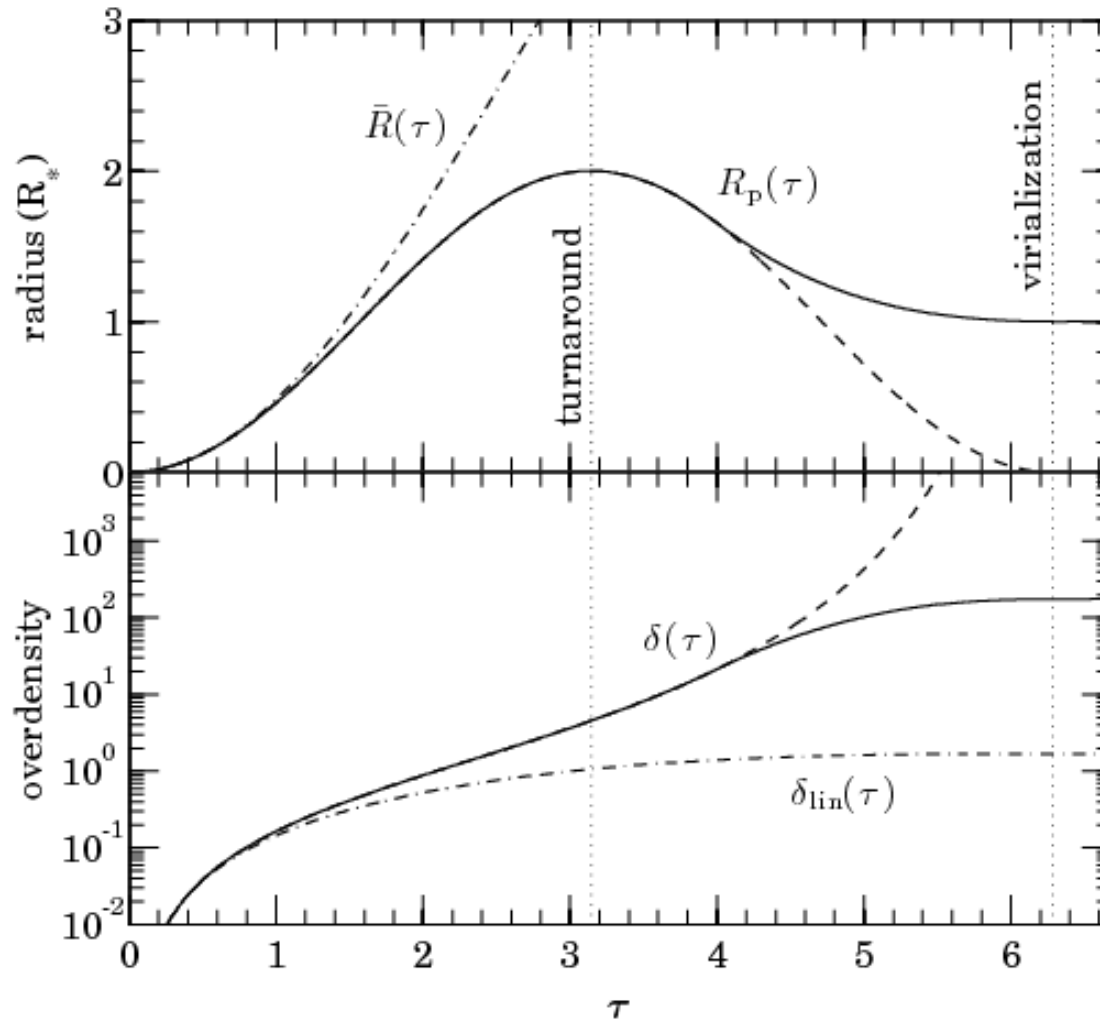
- Iz čega sledi

$$R_{\text{vir}} = \frac{R_{\text{turn}}}{2}$$

- a kontrast gustine virijalizovanog objekta je


$$\delta_{\text{vir}} = \frac{M}{\left( \frac{4\pi R_{\text{vir}}^2}{3} \right) \bar{\rho}(t_{\text{coll}})} - 1 = 18\pi^2 - 1 \approx 177$$

# Kako to izgleda u simulacijama?



# Korespondencija sa linearnim režimom

- U ranoj fazi, rast je linearan; kako se  $\theta$  povećava, imamo:

$$\begin{cases} \delta = \frac{3}{20} \theta^2 + O(\theta^4) \\ t = \frac{C^3}{6\sqrt{GM}} \theta^3 + O(\theta^5) \end{cases} \quad \rightarrow \quad \delta \propto t^{\frac{2}{3}}$$

- Linearni kontrast gustine:

$$\delta_L = \frac{3}{20} \left( \frac{6\sqrt{GM}}{C^3} t \right)^{\frac{2}{3}}$$

- Pošto su i nelinearni kontrast u sfernom kolapsu i ovaj linearizovani kontrast monotone funkcije vremena, možemo proceniti  $\delta$  iz  $\delta_L$  ako imamo neku „fiksiranu“ tačku u relaciji  $\delta_L$ -t

$$\delta_L(t_{\text{coll}}) = \frac{3(12\pi)^{\frac{2}{3}}}{20} \simeq 1.69$$

**Stoga, smatramo region sa  $\delta = 1.69$  kolapsiranim objektom!**

# U realističnom $\lambda$ CDM...

- Cela ova diskusija se odnosila na E-dS model. Za realistični svemir  $\delta_L$  postaje „malo“ komplikovanije (Nakamura & Suto 1997):

$$\Omega_{\text{vir}} \equiv \Omega(t_{\text{vir}}) \quad \chi \equiv \frac{\Omega_\Lambda H_0^2 R_{\text{turn}}}{GM} \quad w_{\text{vir}} \equiv \frac{1}{\Omega_{\text{vir}}} - 1$$

$$\delta_{\text{coll}} = \left( \frac{R_{\text{turn}}}{R_{\text{vir}}} \right)^3 \frac{2w_{\text{vir}}}{\chi} - 1 \simeq 18\pi^2 (1 + 0.04093 w_{\text{vir}}^{0.9052}) - 1$$

$$\begin{aligned} \delta_L &= \frac{3}{5} F \left( \frac{1}{3}; 1; \frac{11}{6}; -w_{\text{vir}} \right) \left( \frac{2w_{\text{vir}}}{\chi} \right)^{\frac{1}{3}} \left( 1 + \frac{\chi}{2} \right) - 1 \\ &= \frac{3(12\pi)^{\frac{2}{3}}}{20} (1 + 0.0123 \log \Omega_{\text{vir}}) \quad (F: \text{hipergeometrijska funkcija...}) \end{aligned}$$

# Press & Schechter (1974)

Rešenje za linearni rast fluktuacija gustine + ekstrapolacija u nelinearni režim kroz top-hat sferni kolaps ⇒ **Analitički model formiranja haloa tamne materije!**

- Neka je broj objekata sa masom između  $M$  i  $M+dM$  jednak  $n(M) dM$ .
- Tada je  $n(M)$  funkcija mase, PS formalizam nam daje analitičko rešenje za funkciju mase.
- Počnimo od **usrednjene** gustine u top-hatu sa radijusom  $R$  koji odgovara masi  $M$ :

$$M = \frac{4\pi R^3}{3} \bar{\rho}$$

**Ova usrednjena gustina se naziva fluktuacijom  $\delta_M$  na masenoj skali  $M$ .**

**Originalna fluktuacija  $\delta$ : normalna (Gausova) raspodela**  
⇒ **usrednjena fluktuacija  $\delta_M$ : normalna (Gausova) raspodela**

$$P(\delta_M) d\delta_M = \frac{1}{\sqrt{2\pi\sigma(M)^2}} e^{-\frac{\delta_M^2}{2\sigma(M)^2}} d\delta_M$$

( $\sigma(M)^2$ : varijansa  $dM$ )

**U određenom trenutku, ako linearizovana fluktuacija  $\delta_M$  pređe kritični prag  $\delta_c$ , formira se kolapsirani objekat sa masom  $M$ . Stavljamo  $\delta_c = \delta_{\text{coll}} = 1.69$  kao za model sfernog kolapsa.**

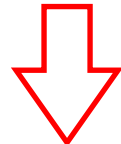
N.B. U novije vreme, teorijske studije sugeriju mnogo komplikovanije oblike za  $\delta_c$ , sa ciljem da rekonstruišu realističnije fizičke uslove...

Verovatnoća da nađemo na region sa  $\delta > \delta_c$  je jednostavno:

$$\begin{aligned} P(> \delta_c)(M) &= \int_{\delta_c}^{\infty} P(\delta_M) d\delta_M = \frac{1}{\sqrt{2\pi\sigma(M)^2}} \int_{\delta_c}^{\infty} e^{-\frac{\delta_M^2}{2\sigma(M)^2}} d\delta_M \\ &= \frac{1}{\sqrt{2\pi}} \int_{\frac{\delta_c}{\sigma(M)}}^{\infty} e^{-\frac{x^2}{2}} dx \end{aligned}$$

Količina materije koja je uključena u objekte sa masama  $> M$  po jedinici zapreme je:

$$\bar{\rho} P(> \delta_c)(M)$$

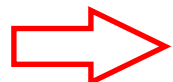


$$\bar{\rho} P(> \delta_c)(M + dM) - \bar{\rho} P(> \delta_c)(M) = \bar{\rho} \frac{dP(> \delta_c)}{dM} dM$$

$$= n(M) M dM$$

# Pres-Šekterova „zvrčka“

- Prvo, ovde ignorišemo mogućnost da se jednom kolapsirani objekat ponovo nađe unutar većeg objekta koji kolapsira (tzv. *cloud-in-cloud* problem).
- Drugo, region sa  $\delta < 0$  neće nikad biti uključen ni u jedan kolapsirani objekat. Ovo je nezgodno, pošto implicira da  $P(>\delta_c) \rightarrow \frac{1}{2}$  kad sumiramo po svim masama...
- Tada **jednostavno pomnožimo funkciju mase sa 2 da bismo izbegli problem!**



$$n(M)MdM = 2\bar{\rho} \left| \frac{dP(>\delta_c)}{dM} \right|_M dM$$

$$n(M) = \sqrt{\frac{2}{\pi}} \frac{\bar{\rho}}{M^2} \left| \frac{d \ln \sigma(M)}{d \ln M} \right| \frac{\delta_c}{\sigma(M)} e^{-\frac{\delta_c^2}{2\sigma(M)^2}}$$

- Uz još par sitnica:

$$\sigma(M) \propto M^{-\alpha} \Leftrightarrow P(k) \propto k^n \quad \alpha = \frac{n+3}{6}$$

- Konačno dobijamo najpoznatiji rezultat PS formalizma:

$$n(M) = \frac{2\alpha}{\sqrt{\pi}} \frac{\bar{\rho}}{M_*^2} \left( \frac{M}{M_*} \right)^{\alpha-2} e^{-\left(\frac{M}{M_*}\right)^{2\alpha}}$$

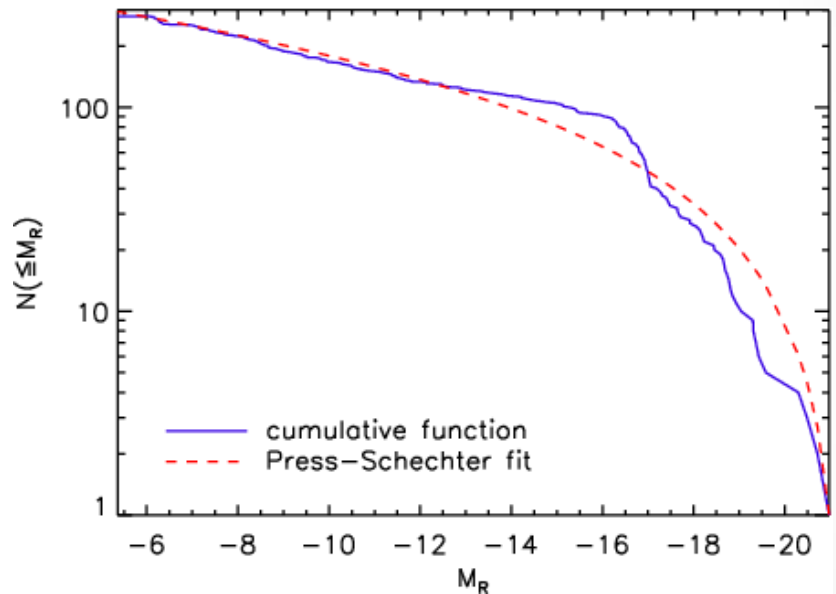
# Uporediti sa funkcijom sjaja galaksija...

- Nakon pokušaja raznih ljudi (Zwicky, Abell, itd.), Schechter (1976) daje analitičku f-ju sjaja:

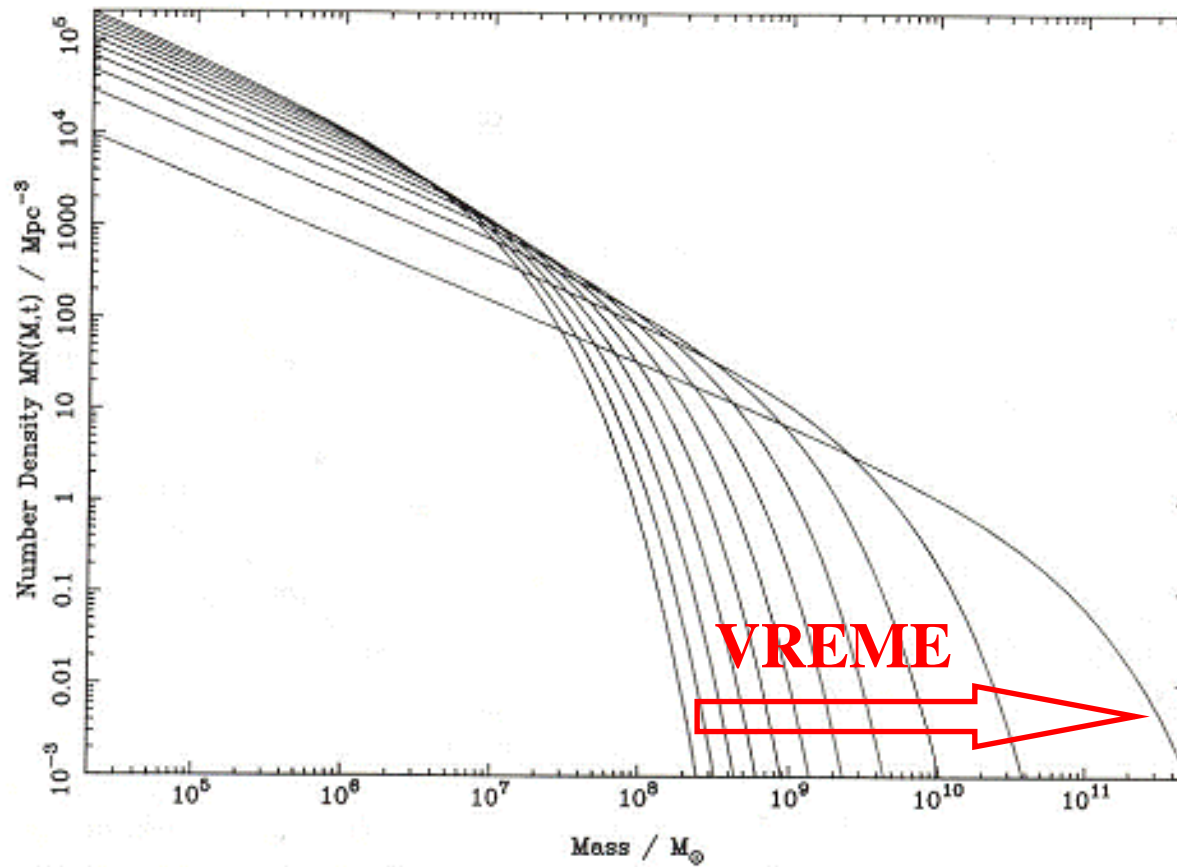
$$f(L) = \frac{f_*}{L_*} \left( \frac{L}{L_*} \right)^\alpha e^{-\frac{L}{L_*}}$$

- $f^*$  je normalizacija koja zavisi od uzorka, a  $\alpha$  postavlja nagib raspodele za male luminoznosti.
- Npr.

$$f_* = (1.6 \pm 0.3) \times 10^{-2} h^3 \text{Mpc}^{-3} \quad \alpha = -1.07 \pm 0.07$$



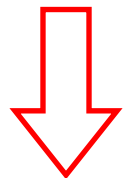
# Press-Schechterova funkcija se menja!



prema Longair (2007)

Schechterova funkcija sjaja, kao najbolja analitička aproksimacija stvarne funkcije sjaja galaksija, bila je originalno inspirisana PS funkcijom mase!

**Međutim, originalna PS formulacija sadrži puno prepostavki koje su kasnije dovođene u sumnju.**



Savremeni *mainstream* proučavanja funkcije mase je izvođenje PS funkcije modeliranjem stapanja sub-galaktičkih haloa (tzv. prošireni PS formalizam: e.g., Lacey & Cole 1993).

Pošto ovakav okvir daje bolji fit na simulacije N-tela, teorijski pokušaji da se bolje razume fizika formiranja haloa su i dalje u toku...



That's all,  
folks!